

Teleportation of the Superposition of Even (Odd) Coherent States and Vacuum State

Seyedeh Robabeh Miry¹, Fatemeh Ahmadi^{2*}

1 Assistant Professor, Department of Engineering Sciences and Physics, Buein Zahra Technical University, Buein Zahra, Qazvin, Iran.

2 Assistant Professor, Department of Engineering Sciences and Physics, Buein Zahra Technical University, Buein Zahra, Qazvin, Iran.

Correspondence

Fatemeh Ahmadi

Email: f.ahmadi@bzte.ac.ir

ABSTRACT

Quantum state teleportation plays a significant role in the field of quantum information transfer. In this article, we proposed the teleportation of a state prepared as a superposition of a coherent state and a vacuum state, using a generalized hybrid entangled state. By considering a setup that includes a beam splitter and a photon detector, and under appropriate conditions, successful teleportation of the entangled state composed of the coherent state and the vacuum state can be achieved.

Furthermore, it has been shown that when considering entangled states of even or odd coherent states and the vacuum state, the success probability significantly increases to 0.5. These results indicate that the generalized hybrid entangled state plays a crucial role in the quantum teleportation of these states.

How to cite

Miry, S.R. Ahmadi, F. (2025). Teleportation of the Superposition of Even (Odd) Coherent States and Vacuum State, Optoelectronic, 7(4), 9-18.

KEY WORDS

Generalized Hybrid Entangled State, Even and Odd Coherent States, Coherent State, Vacuum State, Quantum Teleportation.

فصلنامه علمی
اپتوالکترونیک

«مقاله پژوهشی»

فرابرد برهمنمی حالت‌های همدوس زوج (فرد) و حالت خلاء

سیده ربابه میری^۱، فاطمه احمدی^{۲*}

چکیده

فرابرد حالت‌های کوانتمومی نقش بسزایی در حوزه انتقال اطلاعات کوانتمومی دارد. در این مقاله، سامانه‌ای برای فرابرد برهمنمی حالت همدوس و حالت خلاء معرفی شده که در آن از حالت درهمتنيده هیبریدی تعمیم‌یافته استفاده شده است. با در نظر گرفتن مجموعه‌ای شامل شکافنده موج و آشکارسازهای فوتونی و با در نظر گرفتن شرایط مناسب، فرابرد حالتی که از برهمنمی حالت همدوس و حالت خلاء تشکیل شده با موفقیت قابل انجام است.

علاوه بر این، نشان داده شده است که اگر فرابرد حالت‌هایی را در نظر بگیریم که در حالت درهمتنيده از حالت‌های همدوس زوج یا فرد با حالت خلاء آماده شده‌اند، احتمال موفقیت به‌طور چشمگیری افزایش می‌یابد و به مقدار ۵/۰ می‌رسد. این نتایج نشان می‌دهد که حالت درهمتنيده هیبریدی تعمیم‌یافته نقش مهمی در فرابرد کوانتمومی حالت‌های در نظر گرفته شده دارد.

واژه‌های کلیدی

حالت درهمتنيده هیبریدی تعمیم‌یافته، حالت‌های همدوس زوج و فرد، حالت همدوس، حالت خلاء، فرابرد کوانتمومی.

نویسنده مسئول:

فاطمه احمدی

رایانامه: f.ahmadi@bzte.ac.ir

استناد به این مقاله:

سیده ربابه میری، فاطمه احمدی (۱۴۰۴). فرابرد برهمنمی حالت‌های همدوس زوج (فرد) و حالت خلاء. فصلنامه علمی اپتوالکترونیک، ۷(۴)، ۱۸-۹.

<https://jphys.journals.pnu.ac.ir>

۱ استادیار، گروه علوم مهندسی و فیزیک، مرکز آموزش عالی فی و مهندسی بوین زهراء، بوین زهراء، قزوین، ایران.

۲ استادیار، گروه علوم مهندسی و فیزیک، مرکز آموزش عالی فی و مهندسی بوین زهراء، بوین زهراء، قزوین، ایران.

حالتهای اتمی و فوتونی [۷]، حالتهای کوانتومی با متغیرهای پیوسته [۸] و حالتهای درهمتینیده [۹]. تاکنون، سامانه‌های مختلفی برای فرابرد کوانتومی پیشنهاد شده و مطالعه شئه‌اند. از جمله آنها می‌توان به سامانه یون به دام افتاده [۱۰]، سامانه کاواک کوانتومی [۱۲-۱۴]، سامانه مدار ابررسانا [۱۵، ۱۶] و سامانه موج رونده [۶، ۷، ۱۷، ۱۸] اشاره کرد.

در تحقیقات انجام شده برای فرابرد کوانتومی، کanal کوانتومی که از یک سامانه درهمتینیده تشکیل شده است نقش مهمی دارد. ساختار حالت درهمتینیده یا کanal کوانتومی باید با حالتی که قرار است انتقال یابد، همخوانی داشته باشد. به عنوان نمونه برای فرابرد برهمنی حالت‌های همدوس از حالت درهمتینیده همدوس به عنوان کanal کوانتومی استفاده می‌شود. بنابراین یکی از عوامل موقوفیت در فرابرد کوانتومی انتخاب حالت درهمتینیده مناسب به عنوان کanal کوانتومی است. در همین راستا، از آنجاکه در این مقاله قصد داریم فرابرد کوانتومی برهمنی حالت‌های همدوس زوج و فرد و حالت خلاء را معرفی کنیم، کanal کوانتومی یا حالت درهمتینیده باید شامل درهمتینیدگی بین حالت‌های با متغیر پیوسته و متغیر گسسته باشد. حالت‌های با متغیر گسسته عبارتند از حالت‌های عددی، حالتهای قطبش فوتون و ویژه‌حالتهای اتم دوترازی. از طرف دیگر، حالت همدوس و حالت چلاندۀ مثالهایی از حالت‌های با متغیر پیوسته هستند. درهمتینیدگی بین زیرسامانه‌های با متغیر پیوسته و گسسته کاربردهای متنوعی در پردازش اطلاعات کوانتومی دارد. در این زمینه می‌توان به حالت درهمتینیده هیبریدی $= |\psi\rangle$ اشاره کرد [۱۹]. در حالت درهمتینیده هیبریدی، یکی از زیرسامانه‌ها در حالت‌های همدوس $|\alpha\rangle$ و $|\alpha-\beta\rangle$ و زیرسامانه دیگر در حالت‌های خلاء و حالت عددی $|1\rangle$ قرار می‌گیرد. این حالت در محاسبات کوانتومی [۲۰] و کدگذاری کوانتومی [۲۱] استفاده شده است. به تازگی تعمیم جدیدی از حالت درهمتینیده هیبریدی معرفی شده است که در آن درهمتینیدگی بین حالت همدوس و حالت عددی برقرار شده است [۲۲]. اهمیت حالت تعمیم‌یافته معرفی شده این است که هر یک از زیرسامانه‌های آن در ترکیبی از حالت‌های با متغیر پیوسته (حالت همدوس) و متغیر گسسته (حالت عددی) قرار دارند و این امر می‌تواند در طراحی فرآیند فرابرد کوانتومی نقش مهمی داشته باشد. این امر در بخش‌های آینده مورد بررسی قرار می‌گیرد.

مقدمه

برهمنی حالت‌های کوانتومی اهمیت ویژه‌ای در حوزه‌های مختلف پردازش اطلاعات کوانتومی دارد؛ زیرا در اکثر موارد، برهمنی حالت‌ها ویژگی‌هایی متفاوت با اجزاء سازنده خود نشان می‌دهند. به بیانی دیگر، در برهمنی، برخی از ویژگی‌های غیرکلاسیکی تقویت و گاهی برخی از ویژگی‌ها تضعیف می‌شوند. یکی از مهم‌ترین برهمنی بین حالت‌ها، برهمنی حالت‌های همدوس زوج و فرد است [۱]. حالت همدوس که یکی از اجزاء این برهمنی است مز بین کوانتوم و کلاسیک محسوب می‌شود، اما برهمنی حالت‌های همدوس حاصل دارای ویژگی‌های غیرکلاسیکی پراهمیتی هستند. از این رو، پرداختن به برهمنی حالت‌های کوانتومی موضوعی جذاب در حوزه‌های مختلف پردازش کوانتومی است و تحقیقات فراوانی در این زمینه انجام شده است. در همین راستا، Mishra^۱ و همکارانش برهمنی حالت‌های همدوس زوج و فرد و حالت خلاء را مطالعه کردند [۲]. آنها دریافتند که با به کارگیری این برهمنی خاص، برخی از ویژگی‌های غیرکلاسیکی از جمله مرتبه‌های مختلف چلاندگی و آمار زیرپواسونی در مقایسه با حالت‌های همدوس زوج و فرد بیرون نمودند. در پی آن، نشان داده شده است که با بهره‌گیری از برهمنی مورد اشاره، حساسیت به فاز کوانتومی در تداخل سنج ماخ-زنر افزایش می‌یابد که در حوزه‌های اندازه‌گیری دقیق کوانتومی و سنسورهای کوانتومی نقشی تعیین کننده دارد [۳].

از دیگر سو، فرایندهای مختلف کوانتومی در انتقال اطلاعات به ویژه در مقیاس بزرگ نقشی اساسی دارند، که می‌تواند بستر اینترنت کوانتومی را نیز فراهم کند [۴]. علاوه بر این انتقال اطلاعات بین ماهواره‌ها یکی دیگر از استفاده‌های انتقال اطلاعات کوانتومی در مقیاس‌های بزرگ است. اما این فرآیند با چالش‌هایی مانند از دست رفتن تعداد فوتون‌ها در سامانه‌های کوانتومی به کار گرفته شده همراه است. فرابرد کوانتومی^۲ یکی از فرایندهایی است که می‌تواند با غلبه بر این مشکل امکان انتقال اطلاعات کوانتومی در مقیاس‌های بزرگ را فراهم کند [۵]. تحقیقات زیادی در این زمینه در حال انجام است تا شرایط مطلوب انتقال اطلاعات کوانتومی حاصل شود [۶]. حالت‌های کوانتومی که فرابرد آنها در پژوهش‌های مختلف معرفی شده است عبارتند از

¹ Mishra

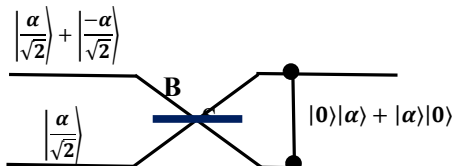
² Quantum teleportation

$$|\psi\rangle = \frac{1}{N} [|0\rangle |\alpha\rangle + |\alpha\rangle |0\rangle] \quad (3)$$

که N ضریب بهنجارش را رابطه زیر بیان می شود:

$$N^2 = 2(1 + e^{-|\alpha|^2}) \quad (4)$$

حالت درهمتینیده هیبریدی تعمیم یافته در رابطه (۳) را می توان با استفاده از ابزارهای اپتیکی کلاسیکی ایجاد کرد. در شکل ۱ دو خاله کواتومی که به شکافنده موج وارد می شوند، نشان داده شده است. شکافنده موج ابزار اپتیکی کلاسیکی است که با تاثیر روی خاله های کواتومی ورودی، خاله های جدیدی را تولید می کند. این شکل یک شکافنده موج $50:50$ را نشان می دهد که تاثیر آن روی خاله های همدوس با رابطه $BS_{12} |\alpha\rangle_1 |\beta\rangle_2 = \left| \frac{\alpha+\beta}{\sqrt{2}} \right\rangle_1 \left| \frac{\alpha-\beta}{\sqrt{2}} \right\rangle_2$ بیان می شود که در آن $|\alpha\rangle_1$ و $|\beta\rangle_2$ به ترتیب بیانگر خاله های همدوس و شکافنده موج هستند.



شکل ۱. سامانه آماده سازی خاله هیبریدی تعمیم یافته با استفاده از شکافنده موج $50:50$. در خاله نهایی درهمتینیدگی بین خاله همدوس و خاله خلاه ایجاد شده است.

حالهای ورودی نشان داده شده در شکل ۱ طوری انتخاب شده اند که با عبور از شکافنده موج $50:50$ ، خاله خروجی به شکل رابطه ۳ به دست آید. با توجه به اینکه در بخش های آینده نیز از شکافنده موج استفاده خواهیم کرد، لازم است در اینجا اشاره کنیم که اهمیت شکافنده برای ما وسیله ای است برای تولید خاله های درهمتینیده مورد نظر. خاله درهمتینیده هیبریدی (۱) را می توان به شکل های دیگری نیز تعمیم داد؛ از جمله، خاله های درهمتینیده به شکل زیر:

$$|\phi\rangle = \frac{1}{N} [|N_1\rangle |\pm_2\rangle + |\pm_1\rangle |N_2\rangle] \quad (5)$$

در این مقاله، ابتدا با بهره گیری از خاله درهمتینیده هیبریدی تعمیم یافته، برای فرآبرد خاله که از برهمنی خاله همدوس و خاله خلاه تشکیل شده و همچنین برای خاله متشکل از برهمنی خاله زوج (فرد) و خاله خلاه به طور جداگانه طرحواره ای معرفی می کنیم که در آن از شکافنده^۱ موج و آشکارسازهای فوتونی استفاده شده است و برای هر کدام به طور جداگانه احتمال موفقیت^۲ و هماندهی^۳ در فرآبرد کواتومی را بررسی می کنیم.

در ادامه ساختار مقاله بدین شرح است: در بخش بعد خاله درهمتینیده هیبریدی تعمیم یافته معرفی می شود. سپس قابلیت فرآبرد برهمنی خاله همدوس و خلاه بررسی می گردد. بعد از آن به فرآبرد برهمنی خاله همدوس زوج (فرد) و خاله خلاه پرداخته می شود و در پایان نتایج به دست آمده مورد بحث و بررسی قرار می گیرد.

حالت درهمتینیده هیبریدی تعمیم یافته
در این بخش ویژگی های خاله درهمتینیده هیبریدی تعمیم یافته را که در [۲۲] معرفی شده است، به اختصار مرور می کنیم. خاله زیر را در نظر بگیرید:

$$|\psi\rangle = \frac{1}{N} [|N_1\rangle |\alpha_2\rangle + |\alpha_1\rangle |N_2\rangle] \quad (1)$$

که در آن خالت $|N_i\rangle$ ($i = 1, 2$)، خالت عددی مربوط به تعداد فوتون های میدان است و خاله همدوس $|\alpha\rangle$ با رابطه زیر توصیف می شود:

$$|\alpha\rangle = e^{-\frac{|\alpha|^2}{2}} \sum_{n=0}^{n=\infty} \frac{\alpha^n}{\sqrt{n!}} |n\rangle. \quad (2)$$

همان طور که پیشتر اشاره شد ویژگی مهم خالت (۱)، ترکیب بین خاله های متغیر پیوسته (حاله همدوس) و متغیر گسسته (حالت عددی) برای یک مدل است. در این مقاله رده خاصی از خاله درهمتینیده هیبریدی در نظر گرفته می شود که در آن درهمتینیدگی بین خاله همدوس و خاله خلاه برقرار است؛ یعنی:

1 Beam Splitter

2 Successful probability

3 Fidelity

یک از زیرسامانه‌ها می‌تواند در یک حالت کوانتومی با متغیر گستته یا پیوسته آمده شود. این ساختار شرایط مناسبی برای فرابرد برهمنهی حالت همدوس و حالت خلاء به شکل $= |\psi\rangle = \gamma|\alpha\rangle + \eta|0\rangle$ را فراهم می‌کند. در بخش بعد نشان می‌دهیم که چگونه استفاده از حالت‌های همدوس زوج و فرد شرایط مطلوب‌تری را برای فرابرد ایجاد می‌کند.

فرابرد برهمنهی حالت همدوس و حالت خلاء

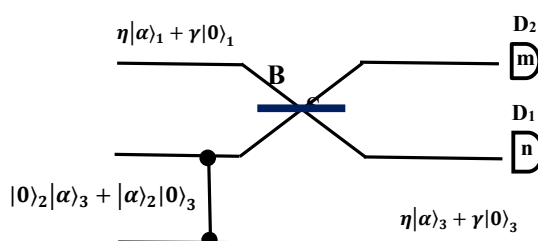
با توجه به اهمیتی که برهمنهی حالت‌ها در حوزه اطلاعات کوانتومی دارد، در این قسمت قابلیت فرابرد برهمنهی حالت همدوس و حالت خلاء را بررسی می‌کنیم. حالت درهمتنيده مورد نظر برای فرابرد به صورت زیر در نظر گرفته می‌شود:

$$|\psi\rangle_1 = \eta|\alpha\rangle_1 + \gamma|0\rangle_1 \quad (7)$$

که در آن ضرایب η و γ مقادیری دلخواه هستند و شرط بینجاش (۱) $= |\gamma|^2 + |\eta|^2 = 1$ را برآورده می‌کنند. $|\alpha\rangle_1$ حالت همدوس و $|0\rangle_1$ حالت خلاء متعلق به زیرسامانه ۱ است.

در سامانه‌ای که برای فرابرد حالت (۷) آمده‌سازی شده است، حالت درهمتنيده تعیین‌یافته (۳) نقش مهمی دارد. سامانه مورد نظر مشکل از شکافنده موج و حالت‌های ورودی و خروجی و آشکارسازها، در شکل ۳ نشان داده شده است. برای تحلیل اطلاعات زیرسامانه‌های ۱ و ۲، تعداد فوتون‌های این زیرسامانه‌ها باید اندازه‌گیری و اطلاعات آنها به زیرسامانه ۳ منتقل شود. در اینجا آشکارسازها باید علاوه بر تشخیص وجود و عدم وجود فوتون‌ها، در صورت حضور فوتون‌ها زوج و فرد بودن تعداد آنها را نیز مشخص کنند.

زیرسامانه ۱ در برهمنهی حالت همدوس و حالت خلاء قرار دارد و زیرسامانه‌های کوانتومی ۲ و ۳ در حالت درهمتنيده تعیین‌یافته (۳) آمده‌سازی شده‌اند.



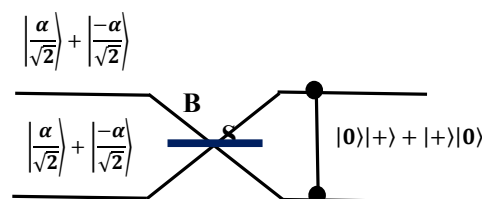
شکل ۳. سامانه کوانتومی شامل ابزارهای اپتیکی از جمله شکافنده موج و آشکارسازهای فوتونی برای فرابرد برهمنهی حالت همدوس و حالت

که در آن رابطه به جای حالت همدوس $= |\alpha\rangle$ ، حالت همدوس زوج و حالت همدوس فرد قرار گرفته است که به ترتیب عبارتند از:

$$\begin{aligned} |+\rangle &= \frac{1}{\sqrt{N_+}} [|\alpha\rangle + |-\alpha\rangle] \\ |-\rangle &= \frac{1}{\sqrt{N_-}} [|\alpha\rangle - |-\alpha\rangle] \end{aligned} \quad (8)$$

که در آن ضریب بینجاش حالت‌های زوج و فرد با رابطه $= 2(1 \pm e^{-2|\alpha|^2}) = N_{\pm}^2$ بیان می‌شود.

در میان مجموعه حالت‌هایی که حالت درهمتنيده (۵) می‌تواند به خود بگیرد، در این مقاله درهمتنيده‌گی بین حالت همدوس زوج و حالت خلاء و درهمتنيده‌گی بین حالت همدوس فرد و حالت خلاء به طور جداگانه استفاده شده است. همان طور که در شکل ۲ نشان داده شده است با استفاده از یک شکافنده موج مشابه با آنچه در شکل ۱ توضیح داده شد، می‌توان حالت درهمتنيده بین حالت همدوس زوج و حالت خلاء را تولید کرد. در این سامانه کافی است ورودی‌ها در حالت همدوس زوج آمده‌سازی شوند. تأثیر عملگر شکافنده موج بر حالت‌های ورودی، به درهمتنيده‌گی بین حالت همدوس زوج و حالت خلاء منجر می‌شود.



شکل ۲. سامانه آمده‌سازی حالت هیبریدی تعیین‌یافته با استفاده از شکافنده موج ۵۰:۵۰ در حالت نهایی درهمتنيده بین حالت همدوس زوج و حالت خلاء ایجاد شده است.

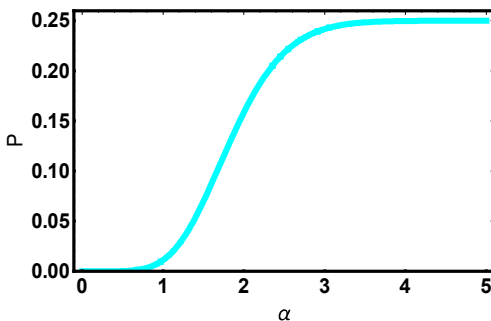
اگر در شکل ۲ یکی از ورودی‌های شکافنده موج حالت همدوس زوج و ورودی دیگر حالت همدوس فرد باشد، می‌توان حالت درهمتنيده مشکل از حالت همدوس فرد و حالت خلاء را ایجاد کرد.

در بخش بعد به فرابرد کوانتومی با استفاده از حالت‌های معرفی شده می‌پردازیم. اما برای روشن شدن اهمیت انتخاب حالت‌های هیبریدی تعیین‌یافته به تفاوت ویژه این حالت با سایر حالت‌های درهمتنيده اشاره می‌کنیم. در این حالت، هر

D_1 غیرصفر و فرد باشد، خالت زیرسامانه ۳ به صورت زیر درخواهد آمد:

$$|\psi\rangle_3 = \eta |\alpha\rangle_3 - \gamma |0\rangle_3 \quad (11)$$

که نشان می‌دهد فرایند فرابرد به طور کامل محقق نشده است. با توجه به اینکه در فرایند فرابرد کوانتومی حالتی با ضرایب ناشناس از زیرسامانه‌ای به زیرسامانه دیگر انتقال می‌یابد، چنانچه خالت ناشناس به طور کامل به زیرسامانه دیگر منتقل شود، فرایند فرابرد به طور کامل تحقق می‌یابد. یعنی هماندهی خالت اولیه و خالت منتقل شده عدد یک خواهد شد. در مثالی که ما در نظر گرفتیم اگر زیرسامانه ۱ در خالت $|\alpha\rangle_1 + \gamma |0\rangle_1$ قرار داشته باشد، چنانچه شرایطی فراهم گردد که زیرسامانه ۳ در خالت $|\alpha\rangle_3 + \gamma |0\rangle_3$ قرار بگیرد، فرابرد به طور کامل محقق می‌شود. ولی اگر زیرسامانه ۳ در خالت $|0\rangle_3 - \gamma |\alpha\rangle_3$ قرار بگیرد فرابرد به طور کامل محقق نشده است. در مواردی که فرابرد مناسب خالت مطلوب را ایجاد کرد.



شکل ۴. احتمال موفقیت فرابرد برهمنی خالت همدوس و خالت خلاه بر حسب α

فرابرد برهمنی خالت همدوس زوج (فرد) و خالت خلاه

در این قسمت نحوه فرابرد برهمنی خالت‌های همدوس زوج (فرد) و خالت خلاه را بررسی می‌کنیم. برای تحقق این فرایند، سامانه درهمتیده باید در خالت درهمتیده هیبریدی تعمیم‌یافته زیرآمده‌سازی شود:

$$|\psi\rangle_{23} = \frac{1}{\mathcal{N}} [|0\rangle |+\rangle + |+\rangle |0\rangle] \quad (12)$$

$$\mathcal{N}^2 = 2(1 + 4e^{-|\alpha|^2})$$

خلاه.

اکنون، شرایطی فراهم می‌کنیم که زیرسامانه‌های ۱ و ۲ تحت تأثیر شکافنده موج تحول یابند. خالت نهایی سامانه پس از عبور از شکافنده، به شکل زیر می‌شود:

$$\begin{aligned} & BS_{12} |\psi\rangle_1 |\psi\rangle_{23} \\ &= BS_{12} \frac{1}{\mathcal{N}} [\eta |\alpha\rangle_1 |0\rangle_2 |\alpha\rangle_3 \\ &\quad + \eta |\alpha\rangle_1 |\alpha\rangle_2 |0\rangle_3 + \gamma |0\rangle_1 |0\rangle_2 |\alpha\rangle_3 \\ &\quad + \gamma |0\rangle_1 |\alpha\rangle_2 |0\rangle_3] \\ &= \frac{1}{\mathcal{N}} \left[\eta \left| \frac{\alpha}{\sqrt{2}} \right)_1 \left| \frac{\alpha}{\sqrt{2}} \right)_2 |\alpha\rangle_3 \right. \\ &\quad + \eta |0\rangle_1 \left| \sqrt{2}\alpha \right)_2 |0\rangle_3 + \gamma |0\rangle_1 |0\rangle_2 |\alpha\rangle_3 \\ &\quad \left. + \gamma \left| \frac{-\alpha}{\sqrt{2}} \right)_1 \left| \frac{\alpha}{\sqrt{2}} \right)_2 |0\rangle_3 \right] \end{aligned} \quad (8)$$

در ادامه، هدفمان این است که زیرسامانه ۳ در برهمنی خالت همدوس و خالت خلاه قرار بگیرد و فرایند فرابرد از زیرسامانه ۱ به زیرسامانه ۳ تکمیل شود. یکی از سنجه‌هایی که برای ارزیابی فرابرد خالت کوانتومی به کار می‌رود، احتمال موفقیت است. برای دستیابی به احتمال موفقیت بیشتر، شرایطی را در نظر می‌گیریم که آشکارساز مستقر در انتها مسیر ۱ تعداد فوتون‌ها را غیرصفر و به تعداد زوج اندازه بگیرد. در چنین شرایطی هماندهی این فرایند یک خواهد بود و زیرسامانه ۳ در خالت زیر قرار می‌گیرد:

$$|\psi\rangle_3 = \eta |\alpha\rangle_3 + \gamma |0\rangle_3 \quad (9)$$

یعنی خالت مورد نظر بدون تغییر انتقال می‌یابد. در این شرایط احتمال موفقیت برابر است با:

$$P_n = \frac{e^{-|\alpha|^2/2}}{\mathcal{N}} \frac{\alpha^{2n}}{2^n n!} \sum_{n \neq 0 \text{ and even}} P_n \quad (10)$$

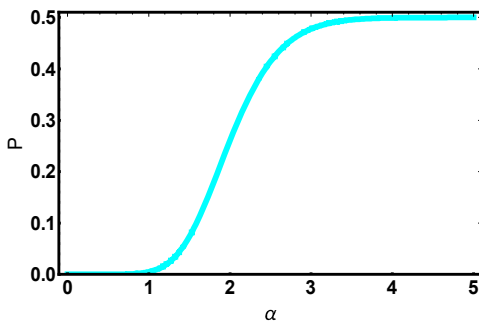
احتمال موفقیت P برای تمامی خالت‌های با n زوج در شکل ۴ رسم شده است. با توجه به شکل درمی‌یابیم که به ازای مقادیر α بزرگ‌تر از ۳ احتمال موفقیت به 25% می‌رسد که در حوزه فرابرد خالت‌های کوانتومی این مقدار قابل قبول است. از طرف دیگر، چنانچه تعداد فوتون‌های رسیده به آشکارساز

ملاحظه می‌کنیم که اگر n و m غیرصفر باشد، تنها دو حالت ممکن است؛ یا n و m هر دو زوج و یا هر دو فرد هستند. در غیر این صورت ضرایب صفر خواهد شد.

اگر تعداد فوتون‌ها در هر دو مسیر زوج باشد، حالت زیرسامانه کوانتمی ۳ در برهمنهی حالت همدوس زوج و حالت خلاء به صورت $\eta |+ \rangle_3 + \gamma |0 \rangle_3 = \eta |\psi \rangle_3$ قرار می‌گیرد و فرایند از زیرسامانه ۱ به زیرسامانه ۳ به طور کامل تحقق می‌یابد. اختلال موفقیت در این فرایند به شکل زیر محاسبه می‌شود:

$$P_{nm} = \frac{4 * e^{-|\alpha|^2}}{\mathcal{N}} \frac{\alpha^{2n}}{2^n n!} \frac{\alpha^{2m}}{2^m m!}$$

$$P = \sum_{n, m \neq 0 \text{ and even}} P_{nm} \quad (16)$$



شکل ۵. احتمال موفقیت فرایند فرایند برهمنهی حالت همدوس زوج و حالت خلاء بر حسب α

رابطه (۱۶) یعنی اختلال موفقیت فرایند فرایند فرایند کوانتمی در حالتی که برهمنهی حالت زوج و خلا را داشته باشیم در شکل ۵ بر حسب پارامتر α رسم شده است. ملاحظه می‌شود به ازای مقادیر α بزرگ‌تر از ۳ احتمال موفقیت به مقدار ۰/۵ می‌رسد که مقدار مطلوبی است و دو برابر احتمال موفقیت در سامانه طراحی شده برای برهمنهی همدوس و خلاء است که در بخش قبل معرفی شد.

حال اگر آشکارسازهای ۱ و ۲ تعداد فوتون‌ها را فرد اندازه بگیرند، حالت نهایی زیرسامانه ۳ به شکل $-|\psi \rangle_3 = \eta |+ \rangle_3 - \gamma |0 \rangle_3$ تبدیل می‌شود و فرایند فرایند فرایند به طور کامل برقرار نخواهد شد.

با فرایندی مشابه می‌توان برهمنهی حالت همدوس فرد و حالت خلاء یا به عبارتی $|\psi \rangle_1 = \eta |+ \rangle_1 + \gamma |0 \rangle_1$ را نیز از

برهمنهی حالت همدوس زوج و حالت خلاء را در زیرسامانه کوانتمی ۱ به شکل زیر در نظر می‌گیریم:

$$|\psi \rangle_1 = \eta |+ \rangle_1 + \gamma |0 \rangle_1 \quad (13)$$

که در آن ضرایب η و γ مقادیری دلخواه هستند و در شرط بهنجارش ($|\eta|^2 + |\gamma|^2 = 1$) صدق می‌کنند. چنانچه شکافته موج بر زیرسامانه‌های ۱ و ۲ اثر کند، حالت نهایی سامانه به شکل زیر به دست می‌آید:

$$\begin{aligned} BS_{12} |\psi \rangle_1 |\psi \rangle_{23} \\ = BS_{12} \frac{1}{\mathcal{N}} [\eta |+ \rangle_1 |0 \rangle_2 |+ \rangle_3 \\ + \eta |+ \rangle_1 |+ \rangle_2 |0 \rangle_3 + \gamma |0 \rangle_1 |0 \rangle_2 |+ \rangle_3 \\ + \gamma |0 \rangle_1 |+ \rangle_2 |0 \rangle_3] \\ = \frac{1}{\mathcal{N}} \left[\eta \left[\begin{array}{c|c} \left| \frac{\alpha}{\sqrt{2}} \right\rangle_1 & \left| \frac{\alpha}{\sqrt{2}} \right\rangle_2 \\ \hline \left| \frac{-\alpha}{\sqrt{2}} \right\rangle_1 & \left| \frac{-\alpha}{\sqrt{2}} \right\rangle_2 \end{array} \right] |+ \rangle_3 \right. \\ \left. + \eta \left(\left| \sqrt{2}\alpha \right\rangle_2 + \left| -\sqrt{2}\alpha \right\rangle_2 \right) |0 \rangle_3 \right. \\ \left. + \eta \left(\left| \sqrt{2}\alpha \right\rangle_1 + \left| -\sqrt{2}\alpha \right\rangle_1 \right) |0 \rangle_2 |0 \rangle_3 \right. \\ \left. + \gamma |0 \rangle_1 |0 \rangle_2 |\alpha \rangle_3 \right. \\ \left. + \gamma \left[\begin{array}{c|c} \left| \frac{-\alpha}{\sqrt{2}} \right\rangle_1 & \left| \frac{\alpha}{\sqrt{2}} \right\rangle_2 \\ \hline \left| \frac{\alpha}{\sqrt{2}} \right\rangle_1 & \left| \frac{-\alpha}{\sqrt{2}} \right\rangle_2 \end{array} \right] |0 \rangle_3 \right] \quad (14) \end{aligned}$$

مطابق با شکل ۳ مقادیر فوتون‌های آشکار شده در مسیرهای ۱ و ۲ را به ترتیب با n و m نامگذاری می‌کنیم. در شرایطی که مقادیر فوتون‌های آشکار شده غیر صفر باشد، رابطه نهایی زیر را به دست می‌آوریم:

$$\begin{aligned} BS_{12} |\psi \rangle_1 |\psi \rangle_{23} \\ = \frac{1}{\mathcal{N}} \left[e^{-\frac{|\alpha|^2}{2}} \sum_{n,m} \frac{\alpha^n}{\sqrt{2^n n!}} \frac{\alpha^m}{\sqrt{2^m m!}} (1 \right. \\ \left. + (-1)^{n+m}) |n \rangle_1 |m \rangle_2 \right] \eta |+ \rangle_3 \\ + \frac{1}{\mathcal{N}} \left[e^{-\frac{|\alpha|^2}{2}} \sum_{n,m} \frac{\alpha^n}{\sqrt{2^n n!}} \frac{\alpha^m}{\sqrt{2^m m!}} ((-1)^n \right. \\ \left. + (-1)^m) |n \rangle_1 |m \rangle_2 \right] \gamma |0 \rangle_3 \quad (15) \end{aligned}$$

زیرسامانه‌ای کوانتومی به زیرسامانه کوانتومی دیگر منتقل کرد.
در این فرایند، حالت درهمتینده هیبریدی تعمیم‌یافته مناسب
به شکل زیر است:

$$|\psi\rangle_{23} = \frac{1}{\sqrt{2}} [|0\rangle |-\rangle + |-\rangle |0\rangle] \quad (18)$$

چنانچه تأثیر عملگر شکافنده موج را بر زیرسامانه‌های ۱ و ۲ در نظر بگیریم به نتیجه زیر خواهیم رسید:

$$\begin{aligned} & BS_{12} |\psi\rangle_1 |\psi\rangle_{23} \\ &= BS_{12} \frac{1}{\sqrt{2}} [\eta |-\rangle_1 |0\rangle_2 |-\rangle_3 \\ &\quad + \eta |-\rangle_1 |-\rangle_2 |0\rangle_3 + \gamma |0\rangle_1 |0\rangle_2 |-\rangle_3 \\ &\quad + \gamma |0\rangle_1 |-\rangle_2 |0\rangle_3] \\ &= \frac{1}{\sqrt{2}} \left[\eta \left[\begin{array}{c|c} \alpha & \alpha \\ \hline \sqrt{2} & \sqrt{2} \end{array} \right] \begin{array}{c|c} \alpha & \alpha \\ \hline \sqrt{2} & \sqrt{2} \end{array}_2 \right. \\ &\quad \left. - \left[\begin{array}{c|c} -\alpha & -\alpha \\ \hline \sqrt{2} & \sqrt{2} \end{array} \right] \begin{array}{c|c} -\alpha & -\alpha \\ \hline \sqrt{2} & \sqrt{2} \end{array}_2 \right] |-\rangle_3 \quad (19) \\ &+ \eta |0\rangle_1 \left(|\sqrt{2}\alpha\rangle_2 + |-\sqrt{2}\alpha\rangle_2 \right) |0\rangle_3 \\ &- \eta \left(|\sqrt{2}\alpha\rangle_1 + |-\sqrt{2}\alpha\rangle_1 \right) |0\rangle_2 |0\rangle_3 \\ &+ \gamma |0\rangle_1 |0\rangle_2 |\alpha\rangle_3 \\ &+ \gamma \left[\begin{array}{c|c} -\alpha & \alpha \\ \hline \sqrt{2} & \sqrt{2} \end{array} \right] \begin{array}{c|c} \alpha & -\alpha \\ \hline \sqrt{2} & \sqrt{2} \end{array}_2 \right. \\ &\quad \left. - \left[\begin{array}{c|c} \alpha & -\alpha \\ \hline \sqrt{2} & \sqrt{2} \end{array} \right] \begin{array}{c|c} -\alpha & \alpha \\ \hline \sqrt{2} & \sqrt{2} \end{array}_2 \right] |0\rangle_3 \end{aligned}$$

همانند مراحل قبلی مقادیر فوتون‌های آشکار شده در مسیرهای ۱ و ۲ را به ترتیب با n و m نامگذاری می‌کنیم.
چنانچه مقادیر فوتون‌های n و m هر دو غیرصفر باشد رابطه (۱۹) به صورت زیر حاصل می‌شود:

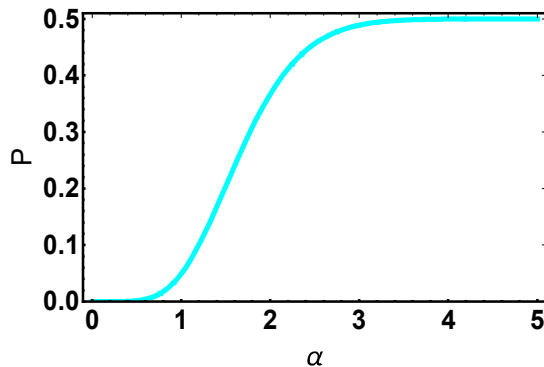
$$\begin{aligned} & BS_{12} |\psi\rangle_1 |\psi\rangle_{23} \\ &= \frac{1}{N} \left[e^{-\frac{|\alpha|^2}{2}} \sum_{n,m} \frac{\alpha^n}{\sqrt{2^n n!}} \frac{\alpha^n}{\sqrt{2^m m!}} (1 \right. \\ &\quad \left. - (-1)^{n+m}) |n\rangle_1 |m\rangle_2 \right] \eta |-\rangle_3 \\ &+ \frac{1}{N} \left[e^{-\frac{|\alpha|^2}{2}} \sum_{n,m} \frac{\alpha^n}{\sqrt{2^n n!}} \frac{\alpha^n}{\sqrt{2^m m!}} ((-1)^n \right. \\ &\quad \left. - (-1)^m) |n\rangle_1 |m\rangle_2 \right] \gamma |0\rangle_3 \quad (20) \end{aligned}$$

رابطه ۲۰ نشان می‌دهد دو حالت امکان‌پذیر است: n زوج و m فرد و حالت دوم n فرد و m زوج. اگر تعداد هر دو فوتون زوج یا هر دوی آنها فرد باشند، ضرایب صفر خواهند شد.
اگر n زوج و m فرد باشد، زیرسامانه کوانتومی ۳ در برهمنی‌ی حالت همدوس فرد و حالت خاله قرار می‌گیرد و فرایند از زیرسامانه ۱ به زیرسامانه ۳ به‌طور کامل با حالت $|\psi\rangle_3 = \eta |-\rangle_3 + \gamma |0\rangle_3$ تحقق می‌یابد. ولی اگر تعداد فوتون‌های زیرسامانه ۱ فرد و زیرسامانه ۲ زوج باشد، فرایند با انتقال حالت $|\psi\rangle_3 = \eta |-\rangle_3 - \gamma |0\rangle_3$ به‌طور کامل تحقق نمی‌یابد.

احتمال موفقیت این فرایند به شکل زیر به دست می‌آید:

$$P = \sum_{\substack{n, m \neq 0 \\ n \text{ even} \\ m \text{ odd}}} P_{nm} \quad (21)$$

در شکل ۶ احتمال موفقیت فرایند فرایند برهمنهی حاصل بر حسب پارامتر α رسم شده است. نمودار به دست آمده با نتایج حاصل از شکل ۵ همخوانی دارد و احتمال موفقیت به مقدار مطلوب $+/\pm 5$ می‌رسد.



شکل ۶. احتمال موفقیت فرایند برهمنهی حالت همدوس فرد و حالت خاله بر حسب α

این نتیجه جالب توجه است که احتمال موفقیت فرایند فرایند برهمنهی حالت همدوس فرد یا زوج و حالت خاله دو برابر زمانی است که سعی می‌کنیم برهمنهی حالت همدوس و حالت خاله را منتقل کنیم. در این قسمت به توضیح دقیق‌تر آن می‌پردازیم. فرایند برهمنهی حالت همدوس زوج و حالت خاله زمانی به‌طور کامل محقق می‌شود که در مرحله نهایی هر دو آشکارساز فوتون‌های زیرسامانه‌های ۱ و ۲ را غیرصفر

سامانه معرفی شده برای فرابرد برهمنهی حالت همدوس و حالت خلاء شامل شکافنده موج و آشکارساز فوتونی است. در این سامانه، برهمنهی حالت همدوس و خلاء در زیرسامانه ۱ در نظر گرفته شده است و زیرسامانه‌های ۲ و ۳ در حالت درهمتنيده هيبريدی تعميم يافته قرار دارند. شکافنده موج در موقعیتی قرار گرفته است که سبب تحول زيرسامانه‌های ۱ و ۲ می‌شود. در اين مرحله چنانچه آشکارساز فوتونی تعداد فوتون‌های زيرسامانه ۱ را غيرصفر و زوج اندازه بگيرد، فرایند فرابرد از زيرسامانه ۱ به زيرسامانه ۳ به طور كامل تحقق می‌يابد. احتمال موفقیت اين فرایند ۰/۲۵ است که در حوزه فرابرد حالت‌های کوانتمی مقداری مورد پذیرش است.

علاوه بر اين نشان داده شد که با بهره‌گيری از سامانه مشابه می‌توان برهمنهی حالت همدوس زوج و حالت خلاء را از زيرسامانه ۱ به زيرسامانه ۳ منتقل کرد. در اين سامانه، پس از تأثير شکافنده موج، چنانچه آشکارسازهای فوتونی مقادير فوتون‌های زيرسامانه‌های ۱ و ۲ را غيرصفر و زوج اندازه بگيرند، فرابرد به طور كامل انجام می‌گيرد. احتمال موفقیت اين فرایند برای مقادير بزرگ α به مقدار ۰/۵ می‌رسد که مقداری مطلوب است. با فرایندی مشابه، فرابرد برهمنهی حالت همدوس فرد و خلاء نيز بررسی شده است و نشان داده شده که اين فرایند هم با احتمال موفقیت مطلوب ۰/۵ قابل تحقق است.

لذا با داشتن احتمال موفقیت مطلوب ۰/۵ می‌توان اميدوار بود که حالت‌های درهمتنيده هيبريدی تعميم يافته در فرابرد کوانتمی و انتقال اطلاعات در مقیاس بزرگ استفاده شوند.

و زوج اندازه بگيرند. در شرایطی که هر دو فوتون غيرصفر باشند تنها دو احتمال برای تعداد فوتون‌های زيرسامانه‌های ۱ و ۲ وجود دارد (هر دو فوتون زوج و يا هر دو فوتون فرد) و بر اين اساس، احتمال موفقیت اين فرایند به مقدار مطلوب ۰/۵ می‌رسد. از طرف ديگر، در فرابرد برهمنهی حالت همدوس فرد و حالت خلاء زيرسامانه‌های ۲ و ۳ باید در حالت درهمتنيده هيبريدی تعميم يافته به صورت $= |\psi\rangle_{23} = |\psi\rangle_2 - |\psi\rangle_3 + \frac{1}{\sqrt{2}} [|\psi\rangle_1 - |\psi\rangle_3]$ آماده شوند. پس از تاثير شکافنده موج، لازم است شرایطی را در نظر بگيريم که هر دو فوتون زيرسامانه‌های ۱ و ۲ غيرصفر باشند. با تحليل روابط درمي‌يابيم که فرابرد زمانی به طور كامل تحقق می‌يابد که در مرحله نهايی تعداد فوتون‌های زيرسامانه ۱ زوج و تعداد فوتون‌های زيرسامانه ۲ فرد اندازه‌گيری شود. در اين حالت نيز تنها دو احتمال برای تعداد فوتون‌های زيرسامانه‌های ۱ و ۲ وجود دارد و اين امر منجر به احتمال موفقیت مطلوب ۰/۵ می‌شود.

نتیجه‌گیری

در اين پژوهش سامانه‌هایی برای فرابرد برهمنهی حالت همدوس و حالت خلاء و همچنین برهمنهی حالت همدوس زوج (فرد) و حالت خلاء پيشنهاد شده است. در سامانه‌های معرفی شده، حالت درهمتنيده هيبريدی تعميم يافته به کار گرفته شده است. اهميت حالت درهمتنيده هيبريدی تعميم يافته بدان سبب است که هر يك از زيرسامانه‌های آن در ترکيبی از حالت کوانتمی با متغير پيوسته و متغير گستته قرار دارند.

منابع

- [1] V. V. Dodonov, I. A. Malkin, and V. I. Manko, “Even and odd coherent states and excitations of a singular oscillator,” *Physica* 72 597 (1974)
- [2] K. K. Mishra, D. Yadav, G. Shukla and D. K. Mishra, “Non-classicalities exhibited by the superposition of Schrödinger's cat state with the vacuum of the optical field” *Phys. Scr.* 96 045102 (2021)
- [3] G. Shukla, K. M. Mishra, A. K. Pandey, T. Kumar, H. Pandey, D. K. Mishra, “Improvement in phase-sensitivity of a Mach-Zehnder interferometer with the superposition of Schrödinger's cat-like state with vacuum state as an input under parity measurement” *Optical and Quantum Electronics* 55, 460 (2023)
- [4] Kimble, H. The quantum internet. *Nature* 453, 1023–1030 (2008)
- [5] C. Bennett, G. Brassard, C. Crepeau, R. Jozsa, A. Peres, and W. K. Wootters, “Teleportation of Quantum States” *Phys. Rev. Lett.* 70 189 (1993)
- [6] J. M. Thomas, F. I. Yeh, J. H. Chen, J. J. Mambretti, S. J. Kohlert, G. S. Kanter, and P. Kumar, Quantum teleportation coexisting with classical communications in optical fiber, *Optica* 11 1700 (2024)
- [7] J. M. Liu and B. Weng, “Approximate teleportation of an unknown atomic state in the two-photon Jaynes–Cummings model ” *Physica A* 367 215 (2006)
- [8] S. J. van Enk, and O. Hirota, “Entangled coherent states: Teleportation and decoherence”, *Phys. Rev. A* 64 022313 (2001)
- [9] X. G. Wang, “Quantum teleportation of entangled coherent states ”*Phys. Rev. A* 64 022302 (2001)
- [10] E Solano, C L Cesar, R. L. de Matos Filho and N. Zagury, Reliable teleportation in trapped ions,

- Eur. Phys. J. D* 13 121 (2001)
- [11] L. Song and R Y Chen, “The scheme of quantum teleportation using four-qubit cluster state in trapped ions”, *Int. J. Theor. Phys.* 54 421 (2015)
- [12] N. G. de Almeida, L. P. Maia, C. J. Villas-Bôas and M. H. Y. Moussa, “One-cavity scheme for atomic-state teleportation through GHZ states”, *Phys. Lett. A* 241 213 (1998)
- [13] N. Sehati and M. K. Tavassoly, “Approximate conditional teleportation of a Λ -type three-level atomic state based on cavity QED method beyond Bell-state measurement”, *Quantum Inf. Process.* 16 193 (2017)
- [14] R. Pakniat, M. K. Tavassoly and M. H. Zandi, “Entanglement swapping and teleportation based on cavity QED method using the nonlinear atom-field interaction: cavities with a hybrid of coherent and number states” *Opt. Commun.* 382 381 (2017)
- [15] M. Baur, A. Fedorov, L. Steffen, S. Filipp, M. P. Da Silva and A. Wallraff, “Benchmarking a quantum teleportation protocol in superconducting circuits using tomography and an entanglement witness”, *Phys. Rev. Lett.* 108 040502 (2012)
- [16] S. Salimian, M. K. Tavassoly, N. Sehati, “Quantum teleportation of the entangled superconducting Qubits via LC resonators” *International Journal of Theoretical Physics* 62 85 (2023)
- [17] N. Takei, T. Aoki, S. Koike, K. I. Yoshino, K. Wakui, H. Yonezawa, T. Hiraoka, J. Mizuno, M. Takeoka, M. Ban, and A. Furusawa, “Experimental demonstration of quantum teleportation of a squeezed state”, *Phys. Rev. A* 72 042304 (2005)
- [18] N. B. An, “Teleportation of a general two-mode coherent-state superposition via attenuated quantum channels with ideal and/or threshold detectors”, *Physics Letters A* 373 1701 (2009)
- [19] K. Nemoto and W. J. Munro, *Phys. Rev. Lett.* 93 250502 (2004); H. Jeong, “Using weak nonlinearity under decoherence for macroscopic entanglement generation and quantum computation”, *Phys. Rev. A* 72 034305 (2005)
- [20] S.W. Lee and H. Jeong, “Near-deterministic quantum teleportation and resource-efficient quantum computation using linear optics and hybrid qubits”, *Phys. Rev. A* 87 022326 (2013)
- [21] J. Rigas, O. Guhne, N. Lutkenhaus, “Entanglement verification for quantum-key-distribution systems with an underlying bipartite qubit-mode structure”, *Phys. Rev. A* 73 012341 (2006)
- [22] G. Ren, H. J. Yu, C. Z. Zhang, F. Chen, “Nonclassical Properties of a Hybrid NAAN Quantum State,” *International Journal of Theoretical Physics* 62 81 (2023)